Rotor 21

- Français
- English

Downloadable files
×

Open access

Git project

Original model

Rotor 21 is part of a research program to study the experimental performances of a stage when the design blade loading in the rotor tip region has been substantially reduced. In order to produce the same overall pressure ratio as a reference stage (rotor 11), the blade loading levels in the midspan portion of the present rotor blade had to be relatively high.

- Original technical report [(cite:schmidt1978design>Schmidt. «Performance With and Without Inlet Radial Distortion of a Transonic Fan Stage Designed for Reduced Loading in the Tip Region » 1978. pdf)]:

```
@TechReport{schmidt1978design,
  author           = {Schmidt, James F. and Ruggeri, Robert S.},
  date             = {1978},
  institution      = {NASA Lewis Research Center Cleveland, OH, United
States},
  title            = {Performance With and Without Inlet Radial Distortion
of a Transonic Fan Stage Designed for Reduced Loading in the Tip Region},
  number           = {NASA-TP-1294},
  url              = {https://ntrs.nasa.gov/citations/19780022114}}
```

- Picture :

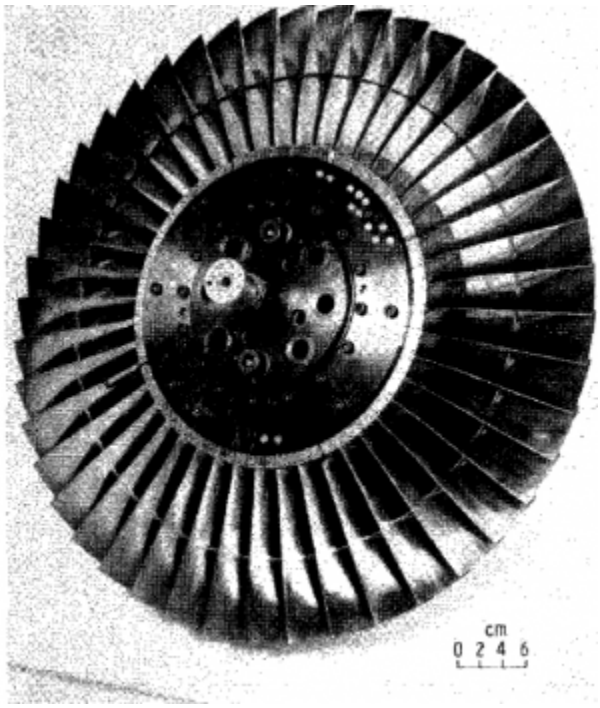


Fig1. https://ntrs.nasa.gov/citations/19780022114 p.68

Useful documents

- downloadable models (Git project)
- PDF of the NASA report :

  rotor21.pdf
- CSV file of the blade geometry :

  rotor21_original.csv

  , usable as input of OpenMCAD[(cite:Kojtych_2022_gene_aubes>Kojtych S., Batailly A. «OpenMCAD, an open blade generator: from Multiple-Circular-Arc profiles to Computer-Aided Design model» 2022. code en libre accès)] to generate reference blade models.

Geometry

The geometry of rotor 21 is described in the original NASA report by the following tables. The length are in centimeters and the angles in degrees.

TABLE IV. - BLADE GEOMETRY FOR ROTOR 21

RP	PERCENT SPAN	RADII RI	RADII RO	BLADE ANGLES KIC	BLADE ANGLES KTC	BLADE ANGLES KOC	DELTA INC	CONE ANGLE
TIP	0.	25.184	24.859	67.16	68.45	66.50	2.49	-10.943
1	5.	24.720	24.321	65.46	66.09	63.55	2.68	-12.184
2	10.	24.209	23.783	63.63	63.54	60.68	2.91	-11.940
3	30.	21.977	21.630	57.00	53.33	50.06	3.95	-7.386
4	50.	19.509	19.478	51.69	43.35	37.36	5.12	-0.536
5	53.	19.186	19.209	51.09	42.21	35.65	5.27	0.386
6	55.	18.861	18.940	50.51	41.10	33.91	5.41	1.320
7	58.	18.534	18.671	49.93	40.04	32.15	5.56	2.257
8	60.	18.204	18.402	49.36	39.03	30.56	5.70	3.194
9	70.	16.863	17.326	47.12	35.49	23.43	6.26	6.996
10	90.	14.112	15.173	42.06	31.67	15.87	7.39	14.856
11	95.	13.420	14.635	40.49	31.40	16.47	7.70	16.870
HUB	100.	12.700	14.097	38.77	31.28	17.72	8.03	19.264

RP	BLADE THICKNESSES TI	BLADE THICKNESSES TM	BLADE THICKNESSES TO	AXIAL DIMENSIONS ZIC	AXIAL DIMENSIONS ZMC	AXIAL DIMENSIONS ZTC	AXIAL DIMENSIONS ZOC
TIP	0.051	0.149	0.051	1.100	1.947	2.326	2.782
1	0.051	0.157	0.051	1.033	1.949	2.314	2.880
2	0.051	0.166	0.051	0.960	1.951	2.296	2.976
3	0.051	0.208	0.051	0.661	1.943	2.109	3.334
4	0.051	0.255	0.051	0.379	1.925	1.766	3.663
5	0.051	0.261	0.051	0.347	1.923	1.716	3.699
6	0.051	0.268	0.051	0.315	1.921	1.664	3.735
7	0.051	0.274	0.051	0.285	1.919	1.612	3.769
8	0.051	0.280	0.051	0.255	1.917	1.560	3.801
9	0.051	0.306	0.051	0.148	1.910	1.350	3.915
10	0.051	0.361	0.051	0.018	1.911	0.989	4.020
11	0.051	0.375	0.051	0.007	1.912	0.918	4.013
HUB	0.051	0.391	0.051	0.000	1.914	0.850	3.997

Aerodynamic design

	unit	values
pressure ratio	[-]	1.57
mass flow	[kg/s]	29.5
tip speed	[m/s]	425
tip solidity	[-]	1.28
aspect ratio	[-]	2.5
number of blades	[-]	44
rotative speed	[rad/s]	1686

Material properties

The original material of the rotor 21 is not defined in the NASA report.

Considered properties: Ti-6Al-4V, generic titanium :

	unité	valeurs
alloy	[-]	Ti-6Al-4V
Young's modulus	[GPa]	108
density	[kg/m3]	4400
Poisson's ratio	[-]	0.34
yield stress	[GPa]	0.824

First three natural frequencies (with clamped root) for the mesh:

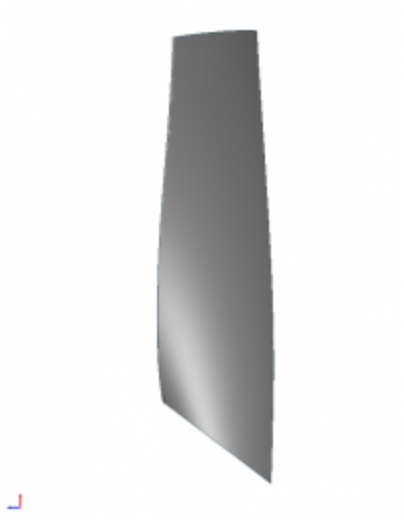
1. (1B): 1506.6 rad/s / 239.8 Hz
2. (2B): 5763.2 rad/s / 917.2 Hz
3. (1T): 8745.6 rad/s / 1391.9 Hz

CAD model

The CAD model is computed with the open source code OpenMCAD[(cite:Kojtych_2022_gene_aubes)].



pressure side



suction side

Natural frequencies

First three natural frequencies (with clamped root) for the mesh computed with OpenMCAD[(cite:Kojtych_2022_gene_aubes)]:

Mode	Type	Natural angular frequency (rad/sec)	Natural frequency (Hz)
1	À Remplir stp	1512.88	240.783
2	À Remplir stp	5410.9	861.171

Mode	Type	Natural angular frequency (rad/sec)	Natural frequency (Hz)
3	À Remplir stp	8729.48	1389.34

Initial blade

The **initial blade** is defined with in-house LAVA parameters[(cite:Kojtych_2022_Methodology)] computed from the reference blade CAD model. The initial blade is usually used as starting point for an optimization process. Its geometry is similar to the one of the reference blade.

Natural frequencies

First three natural frequencies (with clamped root)

- from the whole mesh:

Mode	Type	Natural angular frequency (rad/sec)	Natural frequency (Hz)
1	À Remplir stp	1507.80	239.974
2	À Remplir stp	5410.47	861.103
3	À Remplir stp	8689.96	1383.05

- from the reduced order model:

Mode	Type	Natural angular frequency (rad/sec)	Natural frequency (Hz)
1	À Remplir stp	1507.89	239,988
2	À Remplir stp	5411.17	861.216
3	À Remplir stp	8691.72	1383.33

Fichiers téléchargeables
×

Libre accès

lien vers le projet Git

Modèle original

Le rotor 21 fait partie d'un programme de recherche visant à étudier les performances expérimentales d'un étage de soufflante lorsque la charge des aubes dans la région de l'extrémité du rotor a été considérablement réduite. Afin de produire le même taux de compression global que l'étage de référence (rotor 11), les niveaux de charge des aubes dans la partie médiane de l'aube du rotor actuel ont été relativement augmentés.

- Rapport technique original [(cite:schmidt1978design>Schmidt. «Performance With and Without Inlet Radial Distortion of a Transonic Fan Stage Designed for Reduced Loading in the Tip Region » 1978. pdf)]:

```
@TechReport{schmidt1978design,
  author           = {Schmidt, James F. and Ruggeri, Robert S.},
  date             = {1978},
```

```
  institution      = {NASA Lewis Research Center Cleveland, OH, United
States},
  title            = {Performance With and Without Inlet Radial Distortion
of a Transonic Fan Stage Designed for Reduced Loading in the Tip Region},
  number           = {NASA-TP-1294},
  url              = {https://ntrs.nasa.gov/citations/19780022114}}
```

- Photographie :

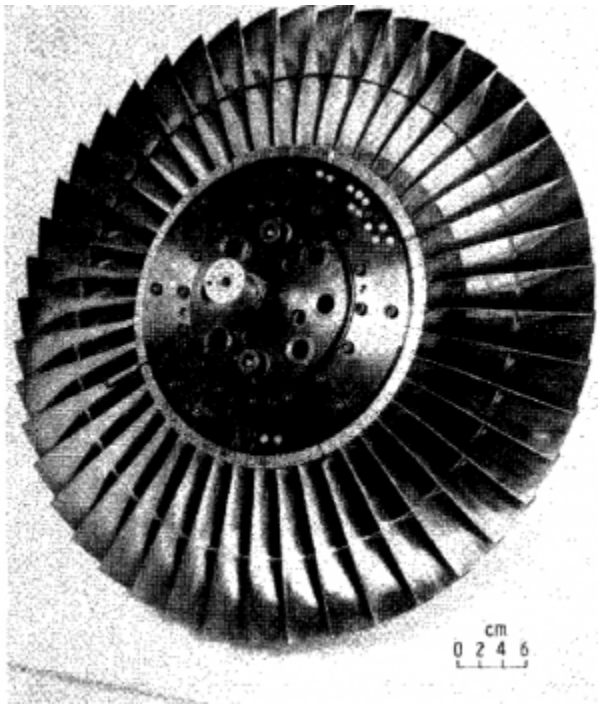


Fig1. https://ntrs.nasa.gov/citations/19780022114 p.68

Documents utiles

- modèles téléchargeables (lien vers projet Git)
- PDF du rapport de la NASA :

  rotor21.pdf
- Fichier CSV de la géométrie :

  rotor21_original.csv

  , utilisable en entrée de OpenMCAD[(cite:Kojtych_2022_gene_aubes>Kojtych S., Batailly A. «OpenMCAD, an open blade generator: from Multiple-Circular-Arc profiles to Computer-Aided Design model» 2022. code en libre accès)] pour générer l'aube de référence

Aube de référence

L'**aube de référence** est définie par des profils de type arcs circulaires multiples[(cite:Crouse_1969_computer>Crouse *et al*. «A computer program for composing compressor blading from simulated circular-arc elements on conical surfaces » 1969. NASA-TN-D-5437. pdf)], donnés dans le rapport technique original de la NASA[(cite:schmidt1978design)]. Les modèles associés sont

obtenus avec le code en libre accès OpenMCAD[(cite:Kojtych_2022_gene_aubes)].

Géométrie

La géométrie du rotor 21 est décrite dans le rapport d'origine de la NASA par les tableaux suivants. Les grandeurs sont en centimètres et en degrés.

TABLE IV. - BLADE GEOMETRY FOR ROTOR 21

RP	PERCENT SPAN	RADII RI	RADII RO	BLADE ANGLES KIC	BLADE ANGLES KTC	BLADE ANGLES KOC	DELTA INC	CONE ANGLE
TIP	0.	25.184	24.859	67.16	68.45	66.50	2.49	-10.943
1	5.	24.720	24.321	65.46	66.09	63.55	2.68	-12.184
2	10.	24.209	23.783	63.63	63.54	60.68	2.91	-11.940
3	30.	21.977	21.630	57.00	53.33	50.06	3.95	-7.386
4	50.	19.509	19.478	51.69	43.35	37.36	5.12	-0.536
5	53.	19.186	19.209	51.09	42.21	35.65	5.27	0.386
6	55.	18.861	18.940	50.51	41.10	33.91	5.41	1.320
7	58.	18.534	18.671	49.93	40.04	32.15	5.56	2.257
8	60.	18.204	18.402	49.36	39.03	30.56	5.70	3.194
9	70.	16.863	17.326	47.12	35.49	23.43	6.26	6.996
10	90.	14.112	15.173	42.06	31.67	15.87	7.39	14.856
11	95.	13.420	14.635	40.49	31.40	16.47	7.70	16.870
HUB	100.	12.700	14.097	38.77	31.28	17.72	8.03	19.264

RP	BLADE THICKNESSES TI	BLADE THICKNESSES TM	BLADE THICKNESSES TO	AXIAL DIMENSIONS ZIC	AXIAL DIMENSIONS ZMC	AXIAL DIMENSIONS ZTC	AXIAL DIMENSIONS ZOC
TIP	0.051	0.149	0.051	1.100	1.947	2.326	2.782
1	0.051	0.157	0.051	1.033	1.949	2.314	2.880
2	0.051	0.166	0.051	0.960	1.951	2.296	2.976
3	0.051	0.208	0.051	0.661	1.943	2.109	3.334
4	0.051	0.255	0.051	0.379	1.925	1.766	3.663
5	0.051	0.261	0.051	0.347	1.923	1.716	3.699
6	0.051	0.268	0.051	0.315	1.921	1.664	3.735
7	0.051	0.274	0.051	0.285	1.919	1.612	3.769
8	0.051	0.280	0.051	0.255	1.917	1.560	3.801
9	0.051	0.306	0.051	0.148	1.910	1.350	3.915
10	0.051	0.361	0.051	0.018	1.911	0.989	4.020
11	0.051	0.375	0.051	0.007	1.912	0.918	4.013
HUB	0.051	0.391	0.051	0.000	1.914	0.850	3.997

Caractéristiques aérodynamiques

	unités	valeurs
taux de compression	[-]	1,57
débit massique	[kg/s]	29,5
vitesse en tête	[m/s]	425
solidité en tête	[-]	1,28
allongement	[-]	2,5
nombre d'aubes	[-]	44
vitesse de rotation	[rad/s]	1686

Propriétés matériau

Le matériau original du rotor 21 n'est pas défini dans le rapport de la NASA.

Propriétés considérées : alliage de titane Ti-6Al-4v :

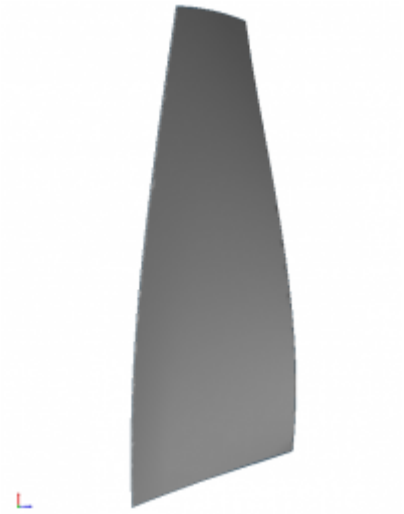
	unité	valeurs
alliage	[-]	Ti-6Al-4v
module d'Young	[GPa]	108
masse volumique	[kg/m3]	4400
coefficient de Poisson	[-]	0,34
limite élastique	[GPa]	0,824

Fréquences des trois premiers modes (noeuds de la base encastrés) pour le maillage :

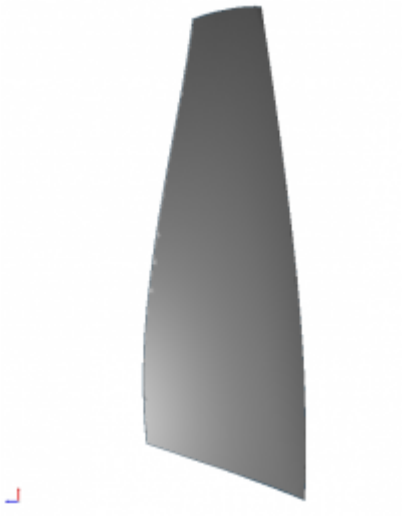
1. (1B): 1506,6 rad/s / 239,8 Hz
2. (2B): 5763,2 rad/s / 917,2 Hz
3. (1T): 8745,6 rad/s / 1391,9 Hz

Modèle CAO

Le modèle CAO est obtenu avec OpenMCAD[(cite:Kojtych_2022_gene_aubes)].



intrados



extrados

Fréquences propres

Fréquences des trois premiers modes (noeuds du pied d'aube encastrés) pour le maillage obtenu avec OpenMCAD[(cite:Kojtych_2022_gene_aubes)] :

Mode	Type	Pulsation propre (rad/sec)	Fréquence propre (Hz)
1	À Remplir stp	1512.88	240.783
2	À Remplir stp	5410.9	861.171
3	À Remplir stp	8729.48	1389.34

Aube initiale

L'**aube initiale** est définie par des paramètres spécifiques au LAVA[(cite:Kojtych_2022_Methodology>Kojtych S. *et al*. «Methodology for the Redesign of Compressor Blades Undergoing Nonlinear Structural Interactions: Application to Blade-Tip/Casing Contacts » 2022. Journal of Engineering for Gas Turbines and Power, Vol. 145, No. 5. pdf)] obtenus à partir du modèle CAO de l'aube de référence. L'aube initiale est classiquement utilisée comme point de départ dans le cadre de procédures d'optimisation; sa géométrie est similaire à celle de l'aube de référence.

Fréquences propres

Fréquences des trois premiers modes (noeuds du pied d'aube encastrés),

- pour le maillage complet :

Mode	Type	Pulsation propre (rad/sec)	Fréquence propre (Hz)
1	À Remplir stp	1507.80	239.974
2	À Remplir stp	5410.47	861.103
3	À Remplir stp	8689.96	1383.05

- pour le modèle réduit :

Mode	Type	Pulsation propre (rad/sec)	Fréquence propre (Hz)
1	À Remplir stp	1507.89	239,988
2	À Remplir stp	5411.17	861.216
3	À Remplir stp	8691.72	1383.33

</tabs>

Document issu de la page wiki:
https://wiki.lava.polymtl.ca/public/modeles/rotor_21/accueil?rev=1677128178

Dernière mise à jour: **2023/04/05 08:59**